

Strukturaufklärung in der molekularen anorganischen Chemie

6. Rotations-Schwingunsspektroskopie

Raman und IR Ro-Vibrationsspektroskopie

γ -ray	Hard X-ray	Soft X-ray	Vacuum UV	Near UV	Visible blue red	Near IR	Mid IR	Far IR	Sub-mmw	mm-wave	Micro-wave	Radio-wave	
$< 0.1\text{ \AA}$	5 \AA	100 \AA	10 nm	2000 \AA 200 nm 5×10^4	$0.7\text{ }\mu\text{m}$ 400 nm 2.5×10^4	$2.5\text{ }\mu\text{m}$ 700 nm 1.4×10^4	$25\text{ }\mu\text{m}$ 2500 nm 4000	1 mm	10 cm	λ	$\tilde{\nu} / \text{cm}^{-1}$		
$> 10^9$	2×10^7	10^6	1.2×10^7	2.4×10^5	1200	600	300	170	48	4.8	0.12	$E / \text{kJ mol}^{-1}$	
120 000	2400	120	3 $\times 10^{19}$	6 $\times 10^{17}$	3×10^{16}	6	3	1.7	0.5	0.05	0.001	0.00001	E / eV
						1.5×10^{15}	7.5×10^{14}	4×10^{14}	1.2×10^{14}	1.2×10^{13}	3×10^{11}	3×10^9	ν / Hz

Klassifizierung

Wechselwirkung mit Strahlung:

- (Optische/Radio) Spektroskopie
- Streuung/Diffraction
- Resonanzmethode
- Elektrische Methode
- Ionisation

Probe Beeinflussung:

- Destruktiv
- Nicht destruktiv

Anwendung:

- Identifizierung/Sauberkeit
- Elementaranalyse
- Chemische Gruppen
- Chemische Konnektivität
- Konformations-Eigenschaften
- Symmetrie
- Geometrie (Längen, Winkel)
- Schwingungen
- Elektronische Struktur (/Dichte)
- (Elektrische) Dipolmomente

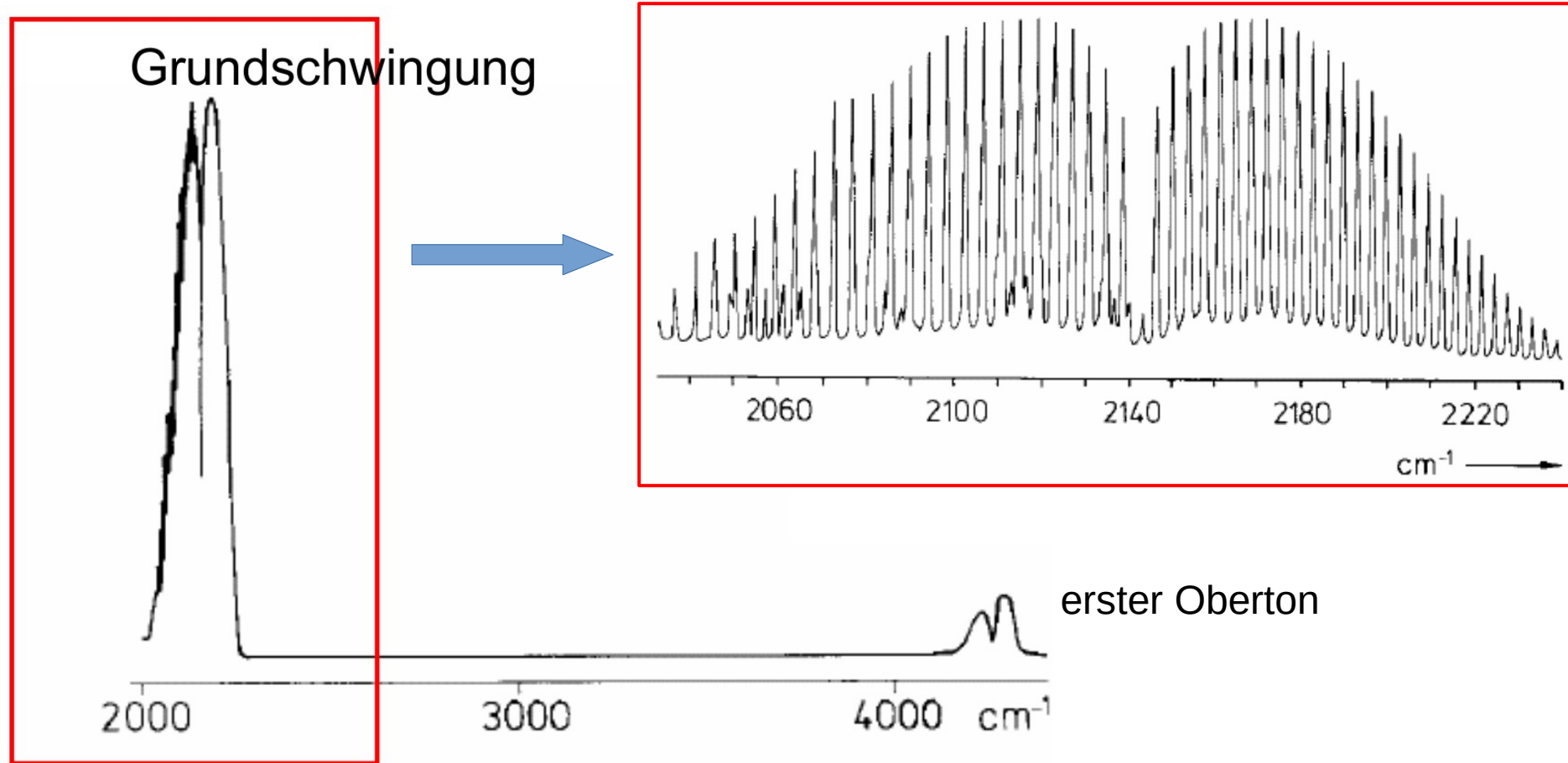
Charakteristische Zeit:

- Langsame Methode
- Mittelschnelle Methode
- Schnelle Methode

Aggregatzustand der Probe:

- Gas
- Flüssigkeit
- Feststoff

IR-Spektrum: CO-Molekül in der Gasphase



IR Rotationsschwingungsspektren

IR: $\Delta v = \pm 1, \Delta J = 0, \pm 1$

P-Zweig: $\Delta J = -1$

$$\begin{aligned}\Delta E &= h\nu_0 + hB [J(J+1) - J'(J'+1)] \\ &= h\nu_0 + hB [J(J-1) - J(J+1)] \\ &= h\nu_0 - 2hBJ\end{aligned}$$

Q-Zweig: $\Delta J = 0$ (verboten in zw.-at. M.)

$$\begin{aligned}\Delta E &= h\nu_0 + hB[J(J+1) - J'(J'+1)] \\ &= h\nu_0\end{aligned}$$

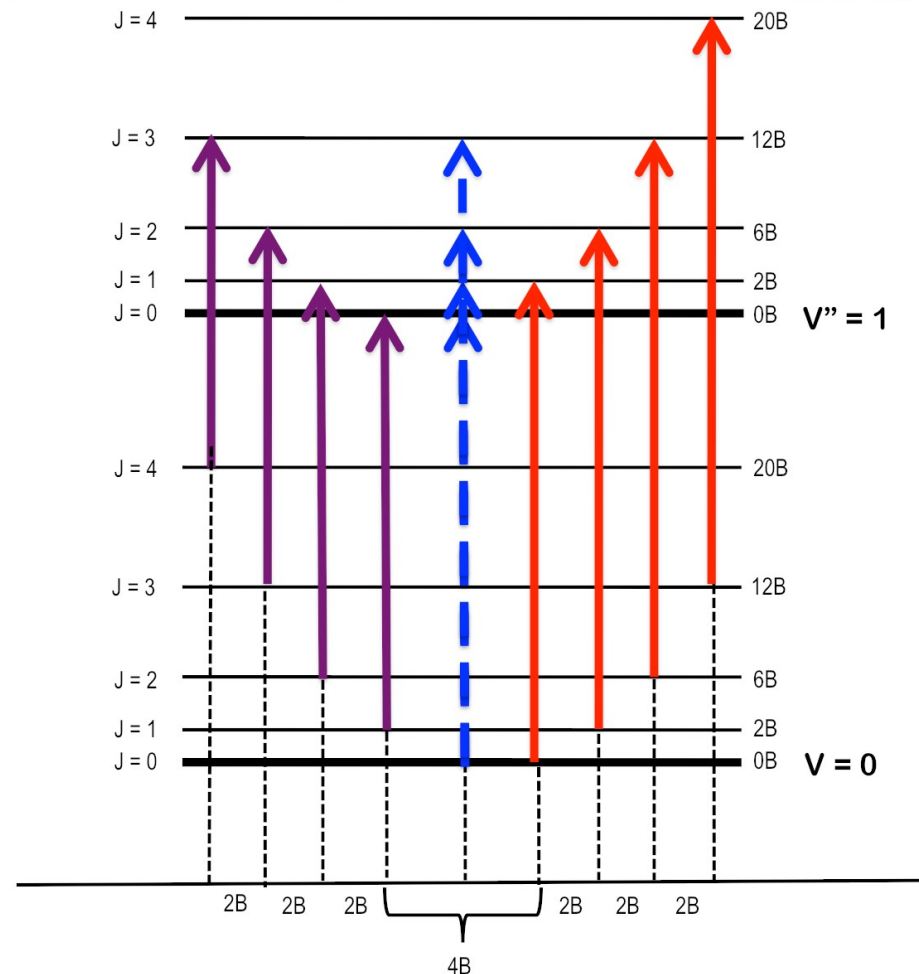
R-Zweig: $\Delta J = +1$

$$\begin{aligned}\Delta E &= h\nu_0 + hB[J(J+1) - J'(J'+1)] \\ &= h\nu_0 + hB[(J+1)(J+2) - J(J+1)] \\ &= h\nu_0 + 2hB(J+1)\end{aligned}$$

P-Zweig $\Delta J = -1$

Q-Zweig $\Delta J = 0$

R-Zweig $\Delta J = +1$

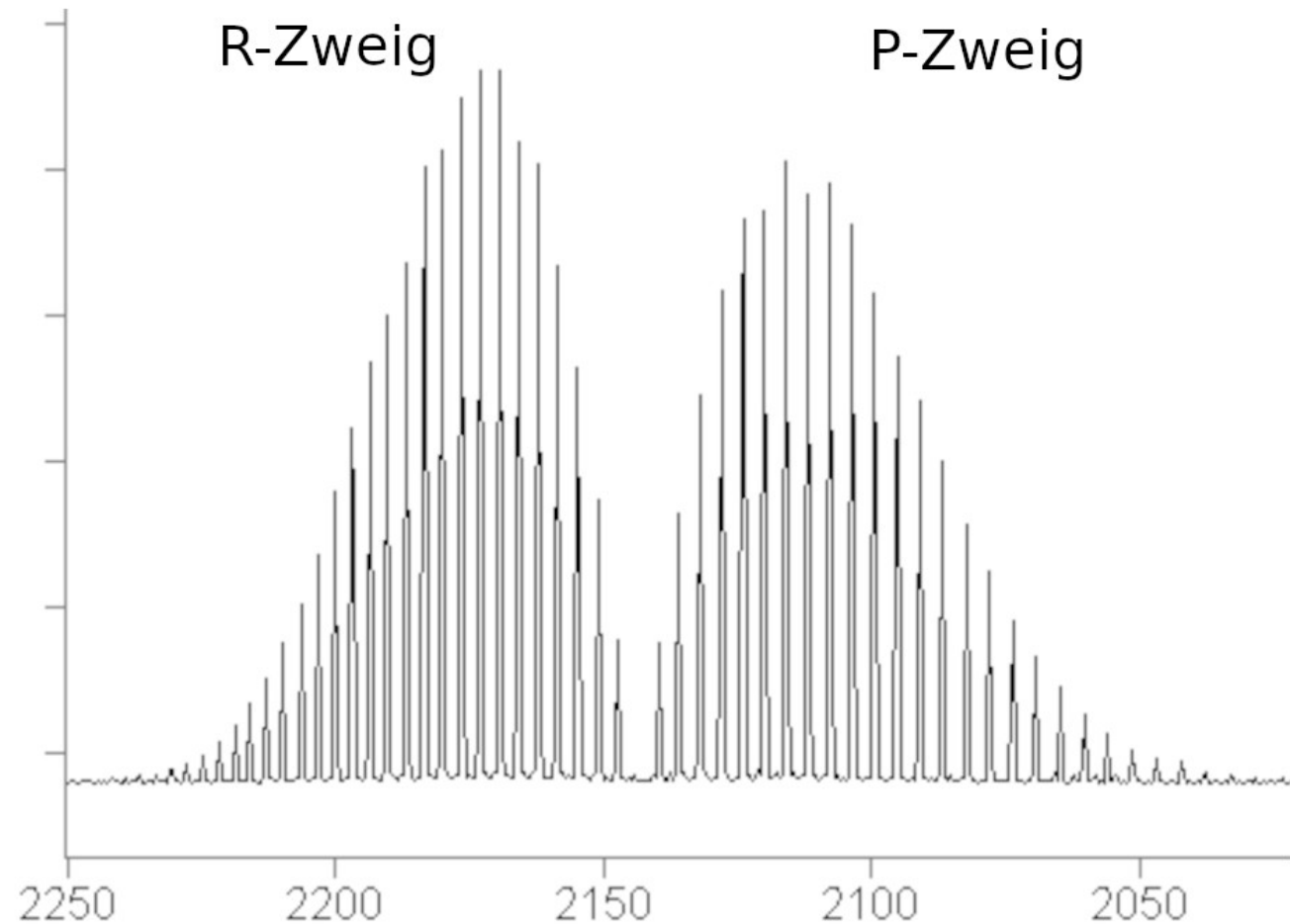


IR Ro-Vibrationsspektroskopie

Kohlenstoffmonoxid CO

$$\nu = 2143 \text{ cm}^{-1}$$

$$B_e = 1.93128087 \text{ cm}^{-1}$$

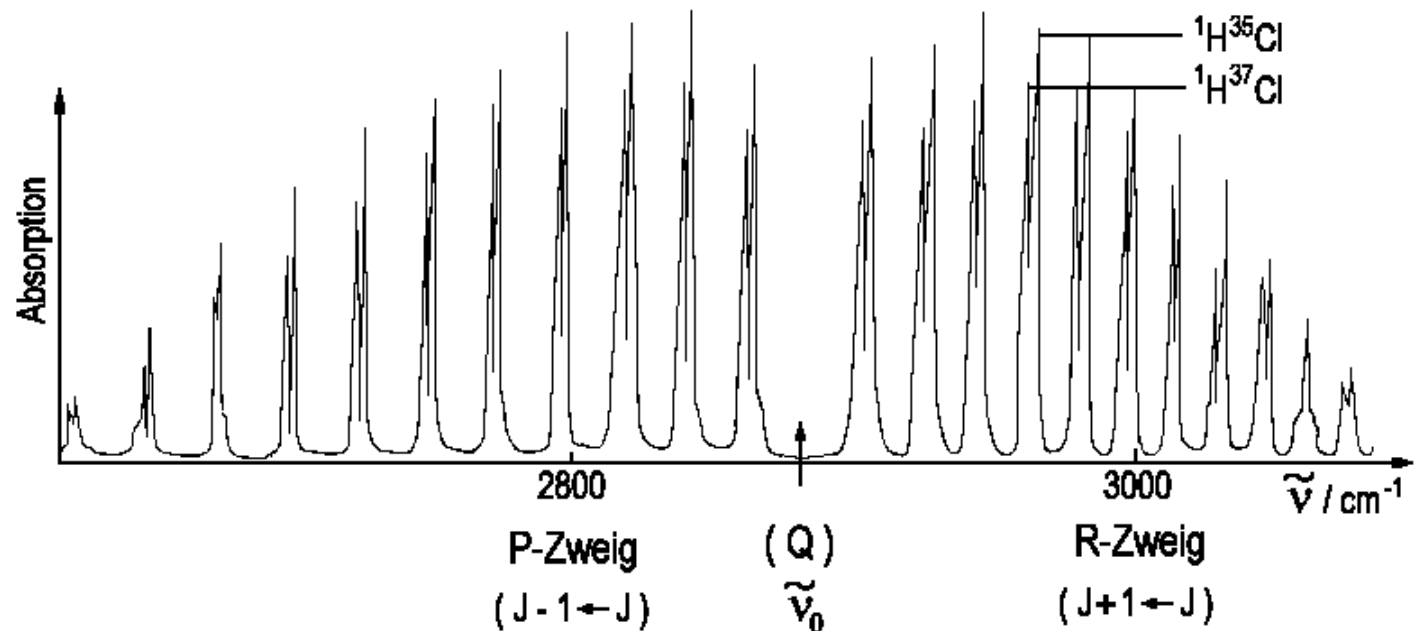


IR Ro-Vibrationsspektroskopie

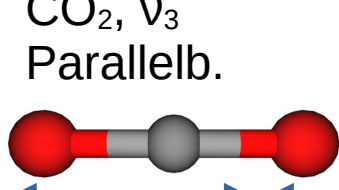
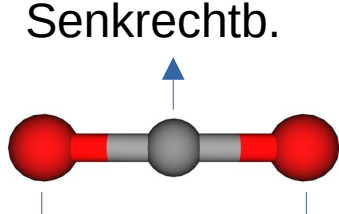
Chlorwasserstoff HCl

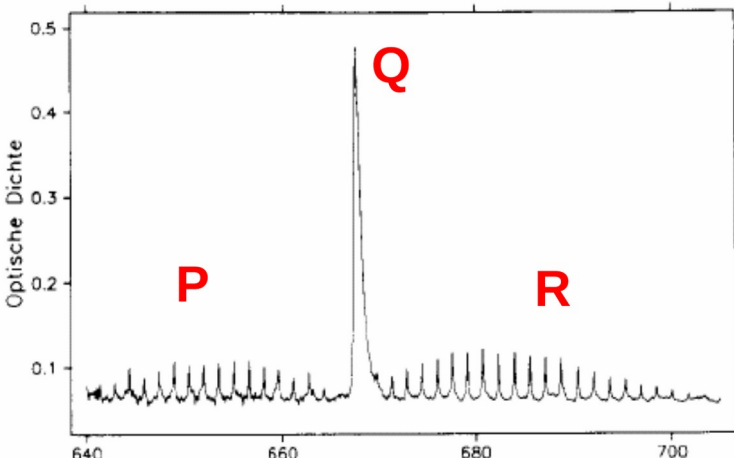
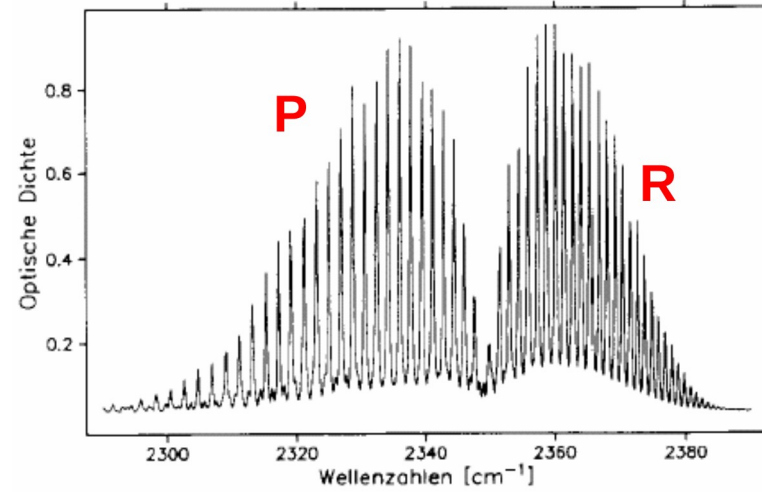
$$\nu = 2886 \text{ cm}^{-1}$$

$$B_e = 10.593416 \text{ cm}^{-1}$$

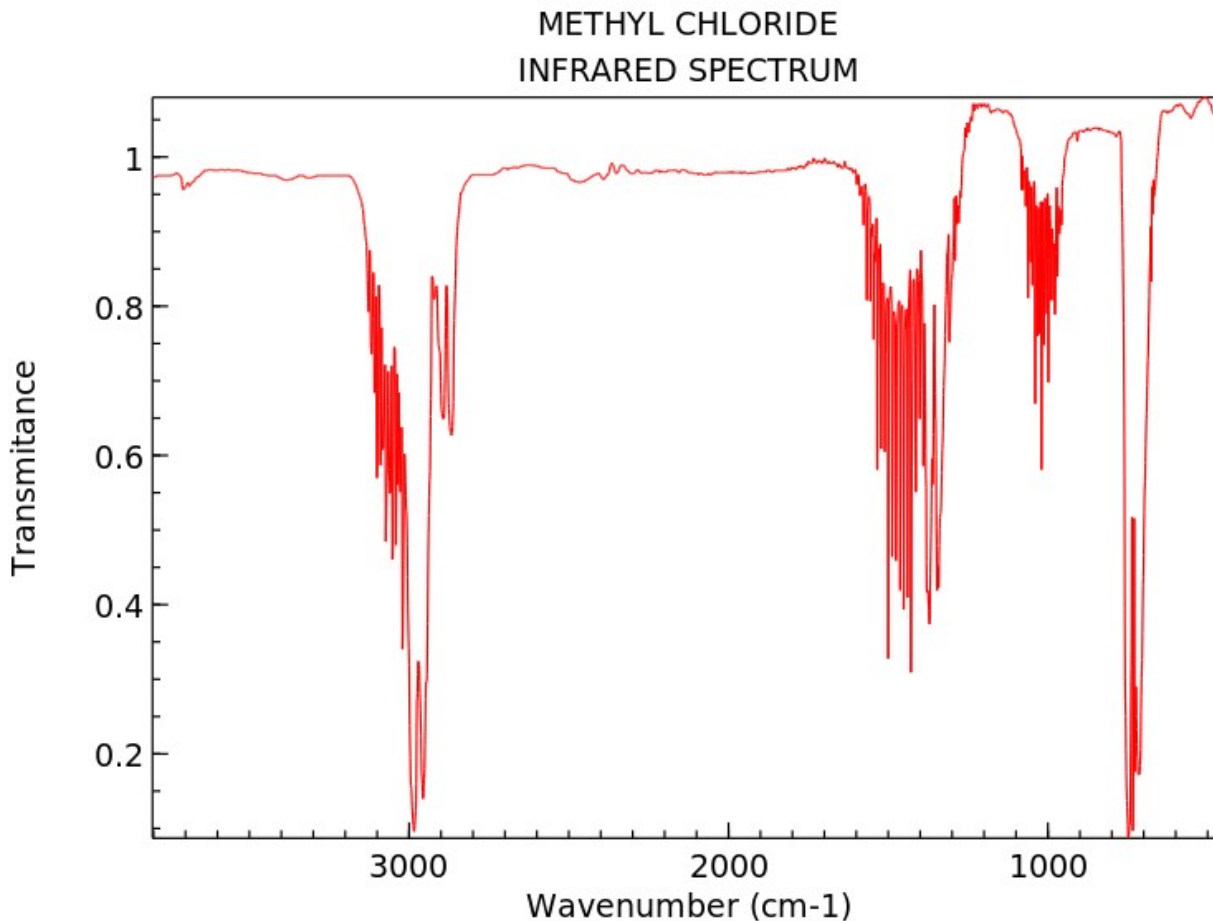


IR Parallel- und Senkrechtabanden

Relativ zur Hauptachse	
CO_2, v_3 Parallelb.	
CO_2, v_2 Senkrechtb.	
Lineare mehratomige und symmetrische Kreisel:	
Rotations-Spektroskopie $\Delta v=0; \Delta J=\pm 1$	
Rotations-Schwingungs-Spektroskopie $\Delta v=\pm 1$	
Parallelbande $\Delta K=0; \Delta J=(0),\pm 1$	Senkrechtabande $\Delta K=\pm 1; \Delta J=0,\pm 1$



CH_3Cl : ein reales IR-Spektrum



IR, symmetrischer Kreisel: CH₃Cl

Senkrechtbande $\nu_6 (E) \approx 1017 \text{ cm}^{-1}$

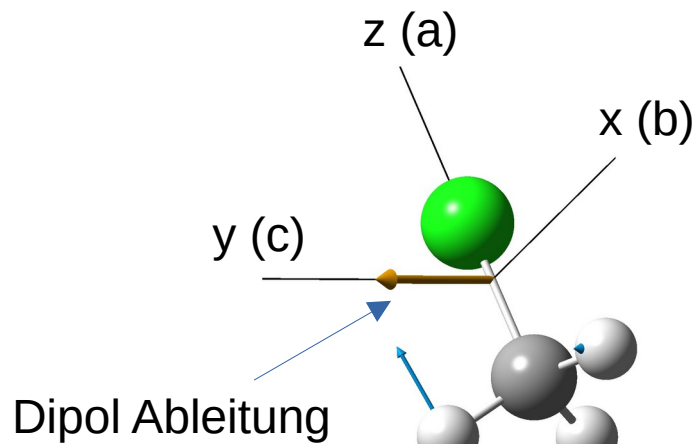
${}^{\Delta K} \Delta J_{K''} (J'')$

gestreckt
(prolate)

$$I_x = I_y = I_{\perp}$$

$$I_z = I_{\parallel}$$

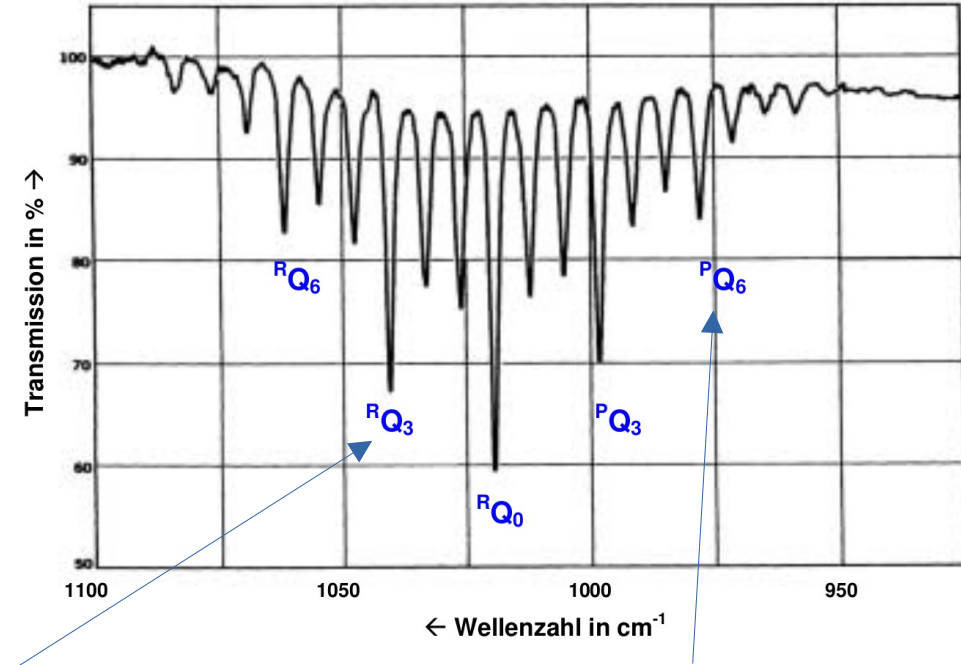
$$I_{\perp} > I_{\parallel}$$



$$E_{\text{rot}}/\hbar c = BJ(J+1) + (A-B)K^2$$

$$\Delta J = 0, \Delta K = +1, K'' = 3$$

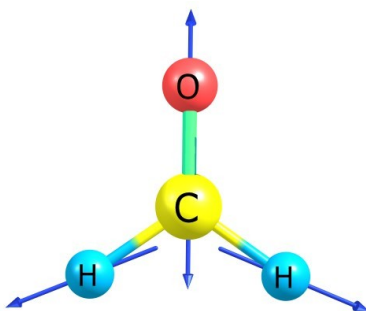
$$\Delta J = 0, \Delta K = -1, K'' = 6$$



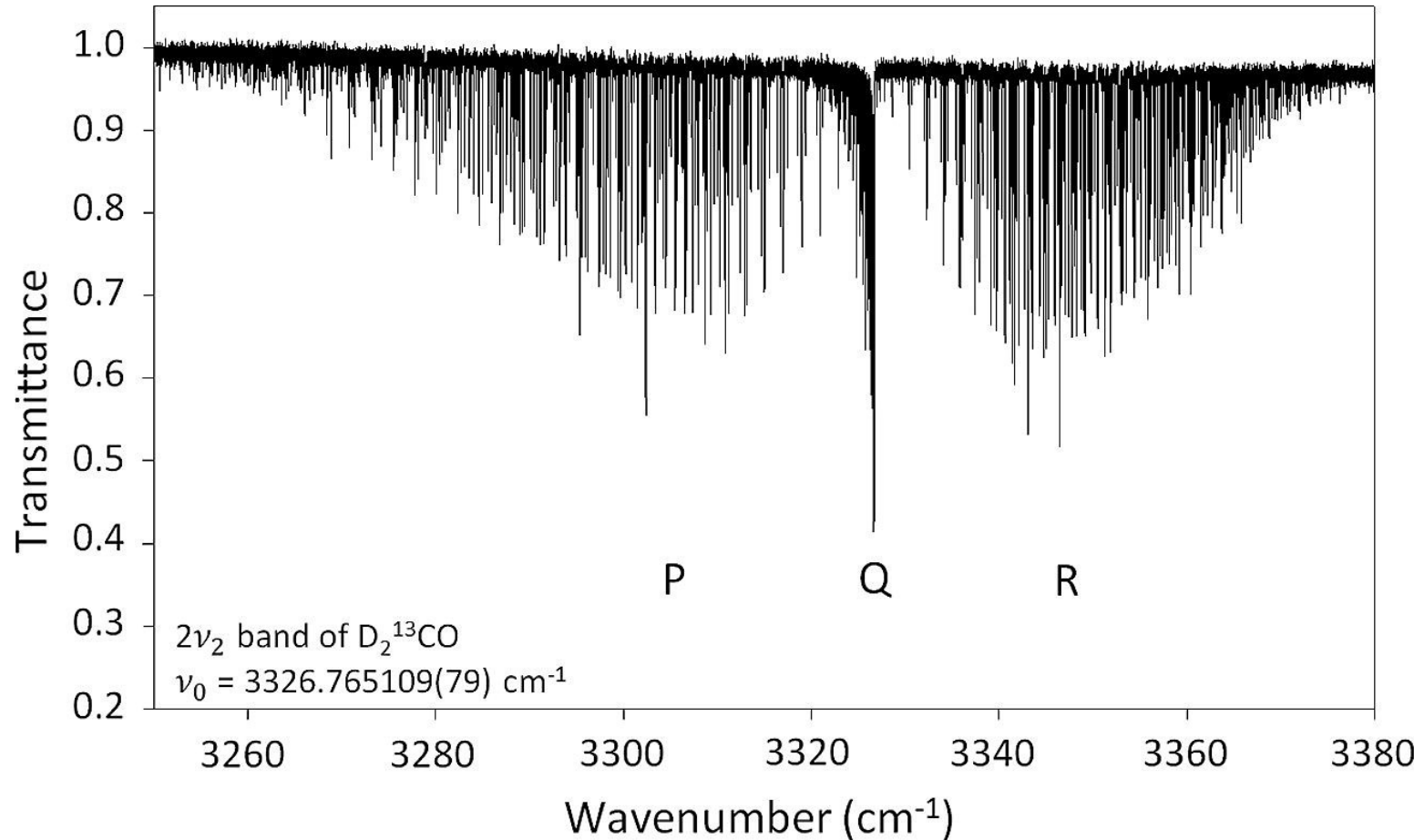
IR, asymmetrischer Kreisel: D₂¹³CO

Formaldehyd

Asym. Rotor $\kappa = -0.9$



ν_2 (A₁) $\approx 1663 \text{ cm}^{-1}$

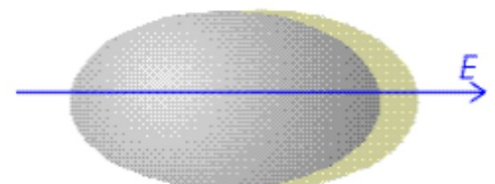


Rotations-Raman-Spektroskopie

Raman:

- reine Rotationsspektren
- Rotationsschwingungsspektren

Ladung Verteilung in E:



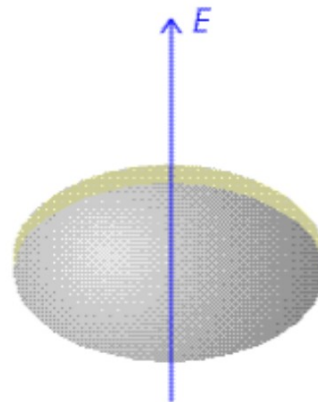
Polarisierbarkeit muss anisotropisch sein!

$D_{\infty h}$ Moleküle (O_2 , N_2 , CO_2 usw.):

- Aktiv in Raman-Rotationsspektren.
- Keine (IR) MW Spektren.

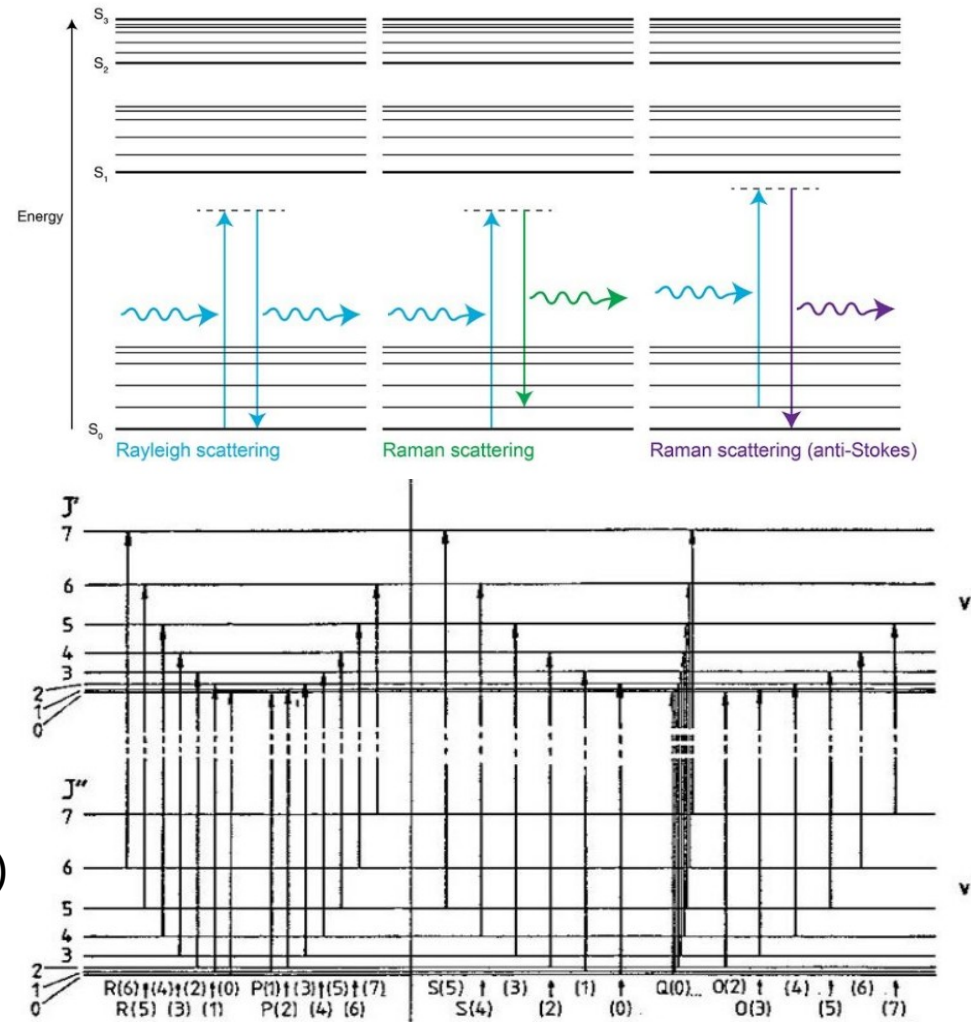
Sphärische Kreisel [T , T_d , T_h , O , O_h , I , I_h] (SiH_4 , SF_6 , usw.):

- Keine reine Raman-Rotationsspektren
- Keine MW Spektren

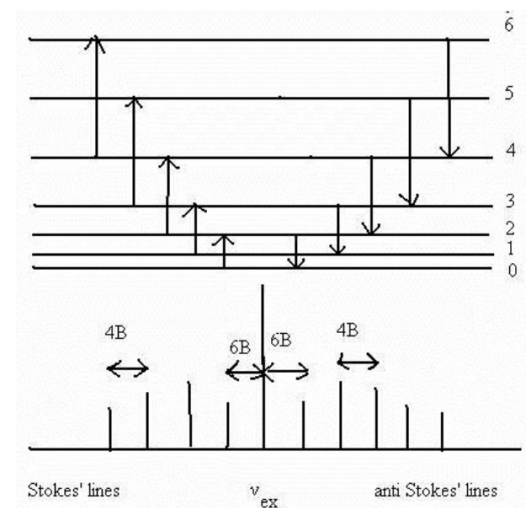


Energieniveaus/Auswahlregeln

Raman Vib-Spek.:
 $\partial\alpha/\partial Q \neq 0$
 $\Delta\nu = \pm 1$



Raman Rot-Spek.:
 $\partial\alpha/\partial\varphi \neq 0$
 $\Delta J = \pm 2$ (lin. M.)



Raman Rovib-Spek.:
 $\partial\alpha/\partial Q \neq 0$
 $\Delta\nu = \pm 1$
 $\Delta J = 0, \pm 1, \pm 2$ (lin. M.)

Reines Raman-Rotationsspektrum

$$E_J = hcBJ(J+1) \quad (\text{lin. Mol.})$$

$$E_0 = 0$$

$$E_1 = 2Bhc$$

$$E_2 = 6Bhc$$

$$E_3 = 12Bhc$$

$$E_4 = 20Bhc$$

$$E_5 = 30Bhc$$

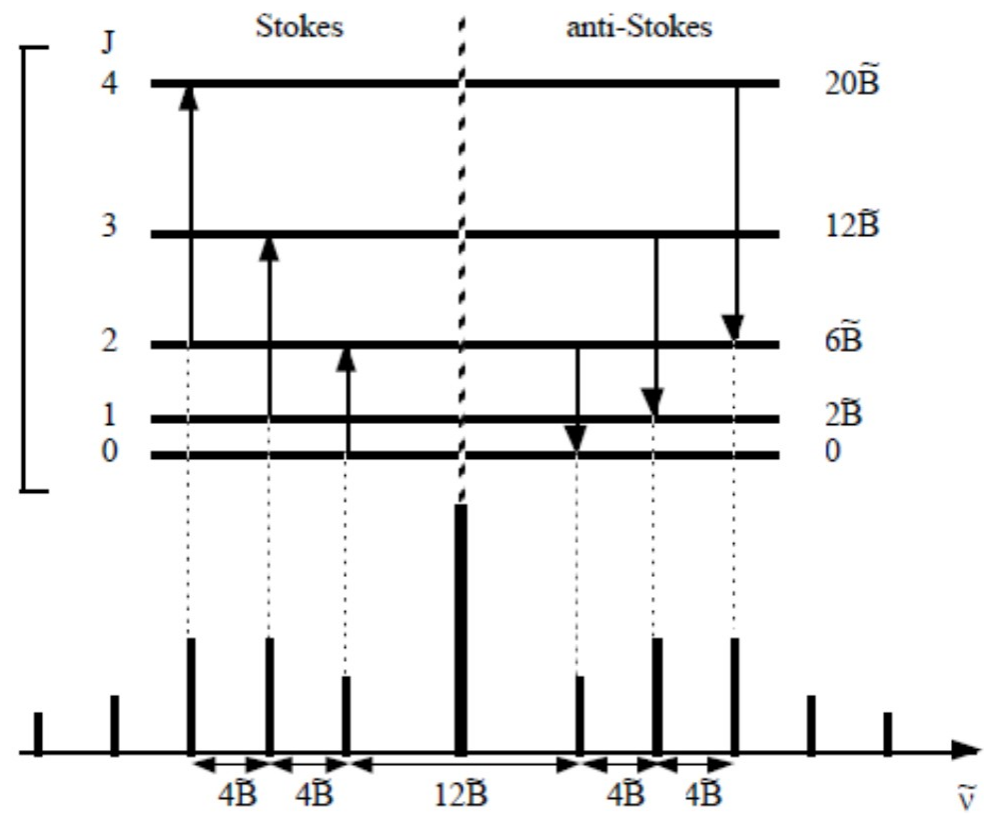
Rot. E-Niveaus:

Spektrum:

Rayleigh: $v_{\text{Ray}} = v_{\text{laser}}$

Stokes: $v_{\text{Stokes}} = v_{\text{laser}} - v_{\text{rot}}$

Anti-Stokes: $v_{\text{AntiStokes}} = v_{\text{laser}} + v_{\text{rot}}$



Reines Raman-Rotationsspektrum

Raman Verschiebung:

Stokes ($\Delta J = +2$): $\bar{v}_{\text{Rot}} = \frac{1}{hc} (E_{J+2} - E_J) = 2B(2J+3)$ $J = 0, 1, 2, \dots$

Anti-Stokes ($\Delta J = -2$): $\bar{v}_{\text{Rot}} = \frac{1}{hc} (E_J - E_{J-2}) = 2B(2J-1)$ $J = 2, 3, 4, \dots$

Lineare Kreisel: $E_J = hcBJ(J+1)$

Raman Wellenzahl:

Stokes ($\Delta J = +2$): $\bar{v}_{(J \rightarrow J+2)} = \bar{v}_{\text{laser}} - 2B(2J+3)$ $J = 0, 1, 2, \dots$

Anti-Stokes ($\Delta J = -2$): $\bar{v}_{(J \rightarrow J-2)} = \bar{v}_{\text{laser}} + 2B(2J-1)$ $J = 2, 3, 4, \dots$

$$\bar{v}_0 = \bar{v}_{\text{laser}} - 6B$$

Stokes: $\bar{v}_1 = \bar{v}_{\text{laser}} - 10B$

$$\bar{v}_2 = \bar{v}_{\text{laser}} - 14B$$

$$\bar{v}_2 = \bar{v}_{\text{laser}} + 6B$$

Anti-Stokes: $\bar{v}_3 = \bar{v}_{\text{laser}} + 10B$

$$\bar{v}_4 = \bar{v}_{\text{laser}} + 14B$$

Reines Raman-Rotationsspektrum

Symm. Kreisel: $E_{JK} = BJ(J+1) + (a-B)K^2$ $J = 0, 1, 2, \dots$ $K = -J, \dots, +J$

Auswahlregeln:

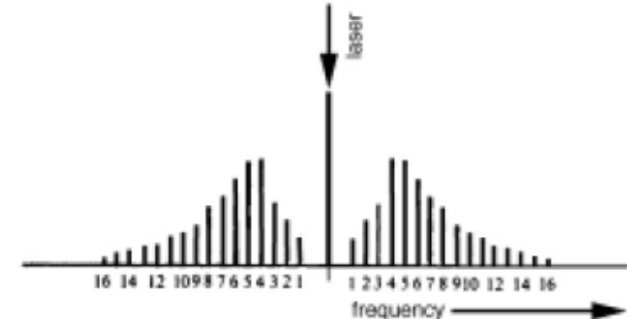
$$\Delta K = 0$$

$$\Delta J = 0, \pm 1, \pm 2 \text{ (f. } K = 0 \text{ nur } \pm 2\text{)}$$

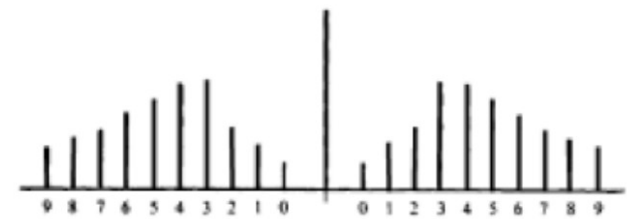
- R-Zweig: $\Delta J = \pm 1$
 $\Delta E_R = 2B(J + 1)$ $J = 1, 2, \dots$
- S-Zweig: $\Delta J = \pm 2$
 $\Delta E_S = 2B(2J + 3)$ $J = 0, 1, 2, \dots$

Abstand zwischen Linien: $2B$ (in lin. M. $4B$)

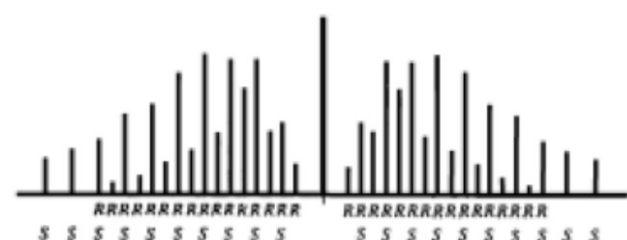
R-Zweig



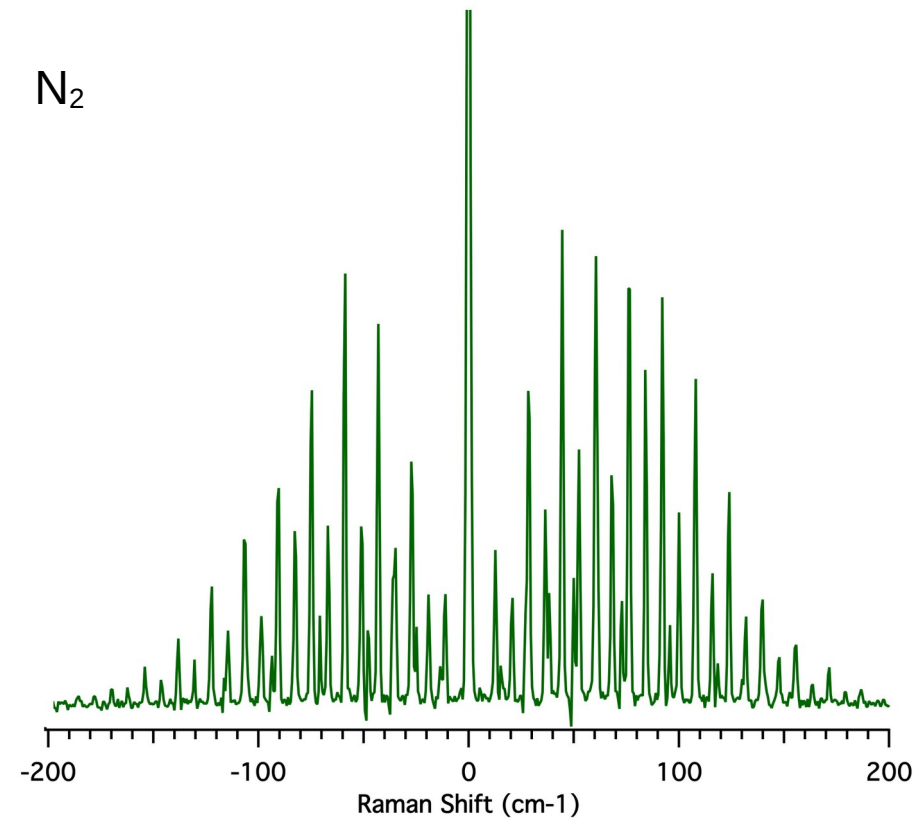
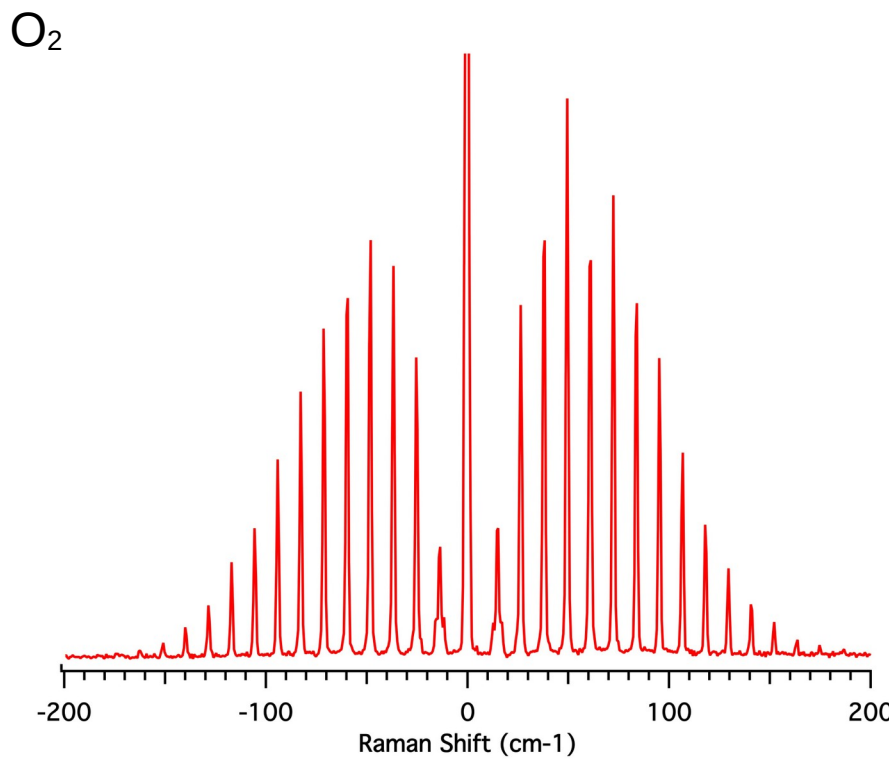
S-Zweig



Spektrum



Reine Raman-Rotationsspektren: N₂ und O₂



Raman-Rotationsschwingungs-Niveaus

$$\Delta v = \pm 1, \Delta J = 0, \pm 1$$

d.h. P, Q, R

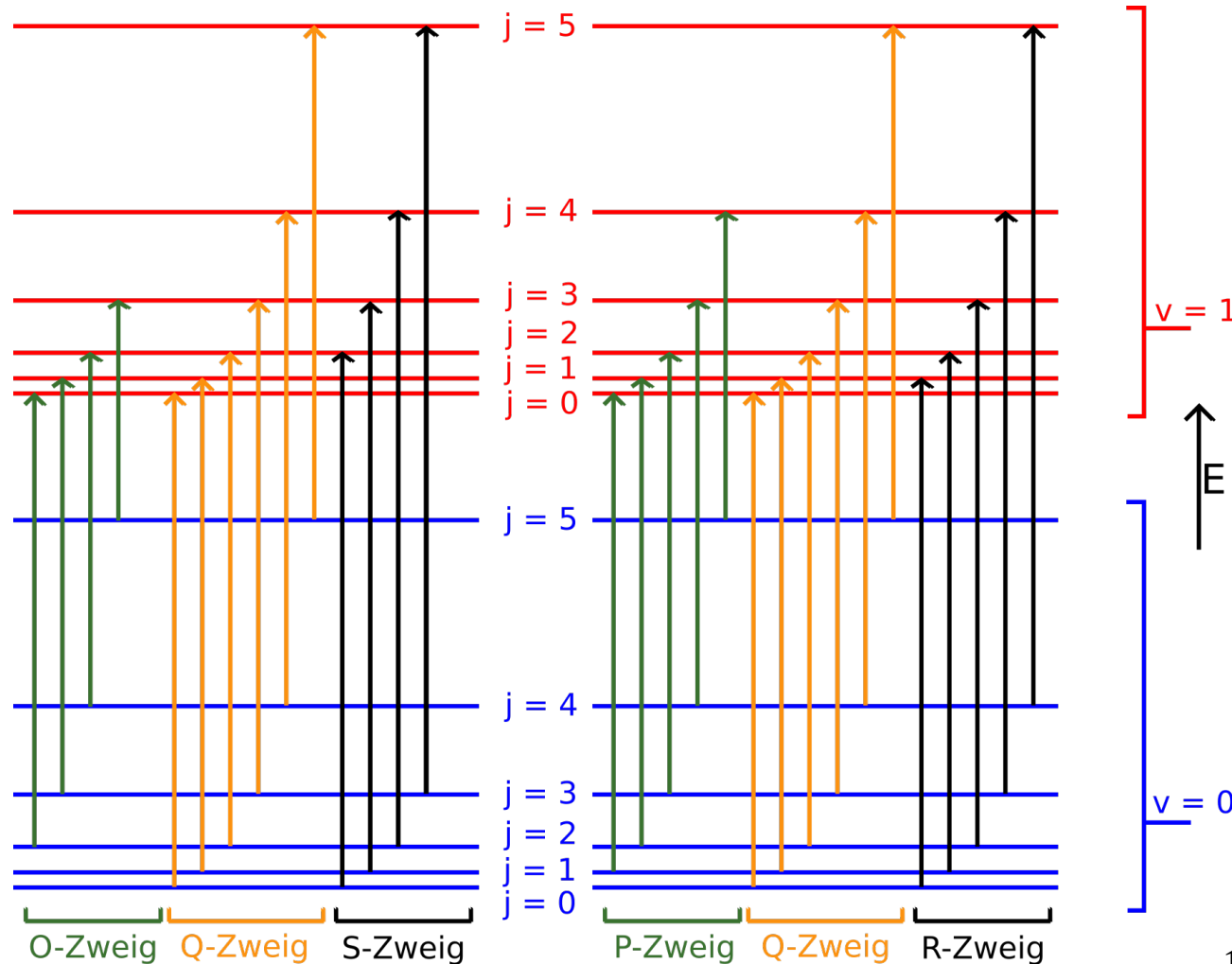
(IR: nur P und R f. zw.-at. M.)

Für Raman auch zusätzlich:

$$\Delta v = \pm 1, \Delta J = 0, \pm 2$$

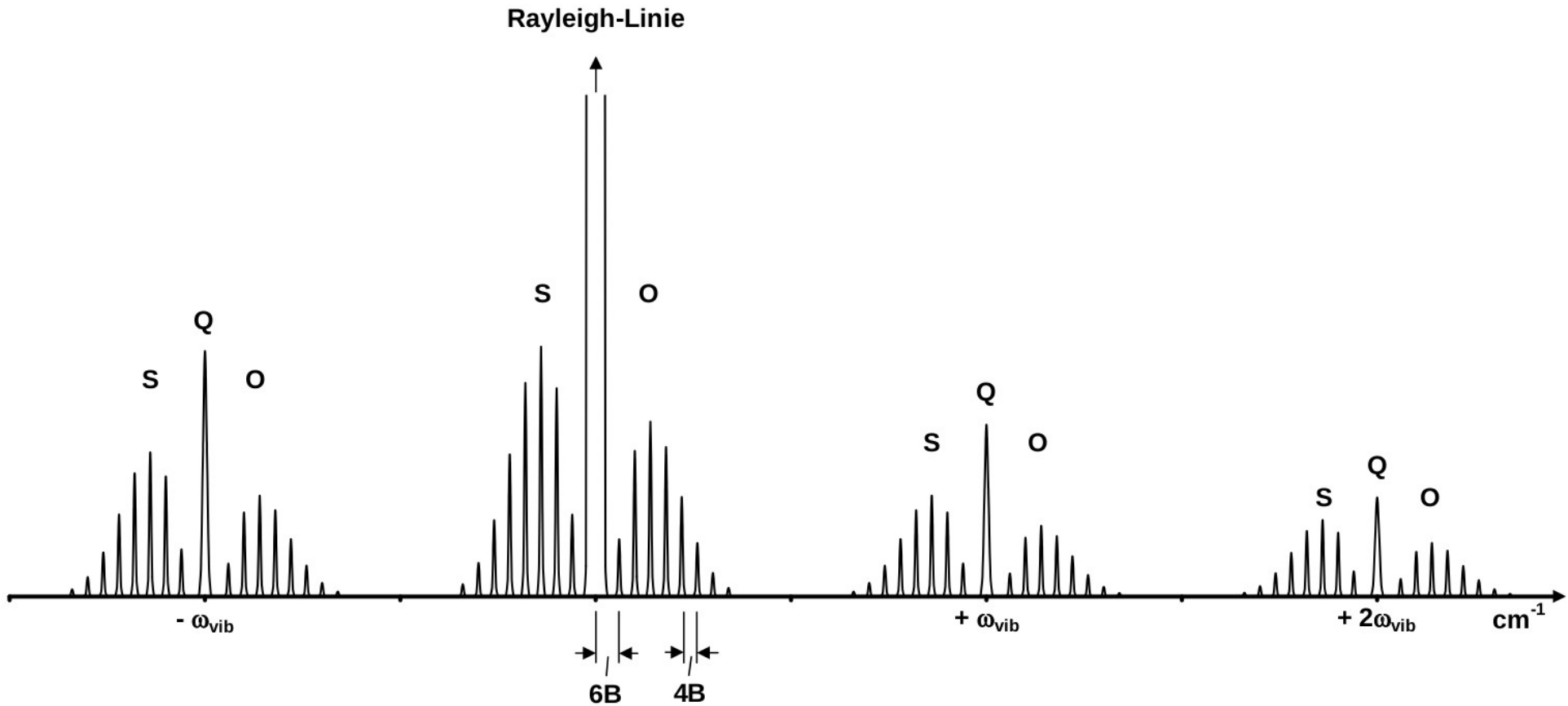
d.h. O, Q, S

(Raman: nur diese f. zw.-at. M.)



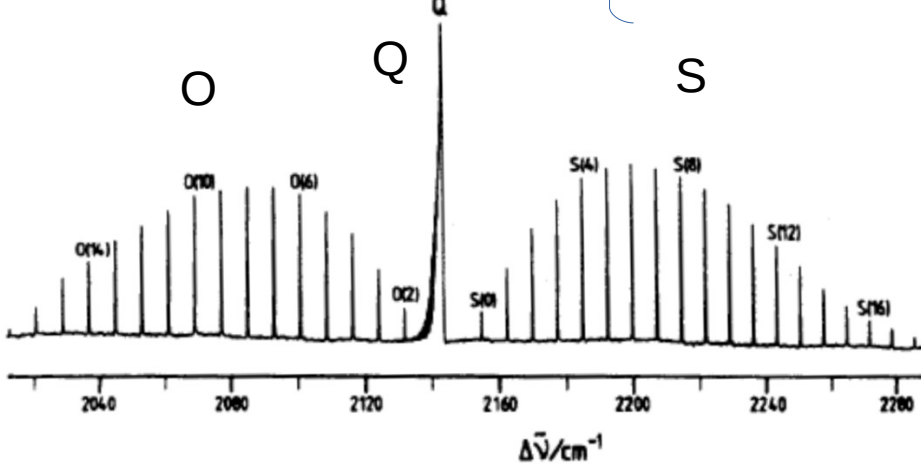
Raman-Rotationsschwingungsspektren

Zweiatomige Moleküle:



Zweiatomige Moleküle

Für Stokes:



O-Zweig

Q-Zweig

S-Zweig

Raman-Versch.:

Wellenzahl:

Raman-Versch.:

Wellenzahl:

Raman-Versch.:

Wellenzahl:

$$\bar{\nu}_{O(\Delta v=1, \Delta J=-2)} = hc(E_{(v=1, J-2)} - E_{(v=0, J)}) = \bar{\nu}_v - B(4J - 2)$$

$$\bar{\nu}_{O_{sc}} = \bar{\nu}_{exc} - \bar{\nu}_v + B(4J - 2)$$

$$\bar{\nu}_{Q(\Delta v=1, \Delta J=0)} = hc(E_{(v=1, J)} - E_{(v=0, J)}) = \bar{\nu}_v$$

$$\bar{\nu}_{Q_{sc}} = \bar{\nu}_{exc} - \bar{\nu}_v$$

$$\bar{\nu}_{S(\Delta v=1, \Delta J=2)} = hc(E_{(v=1, J+2)} - E_{(v=0, J)}) = \bar{\nu}_v + B(4J + 6)$$

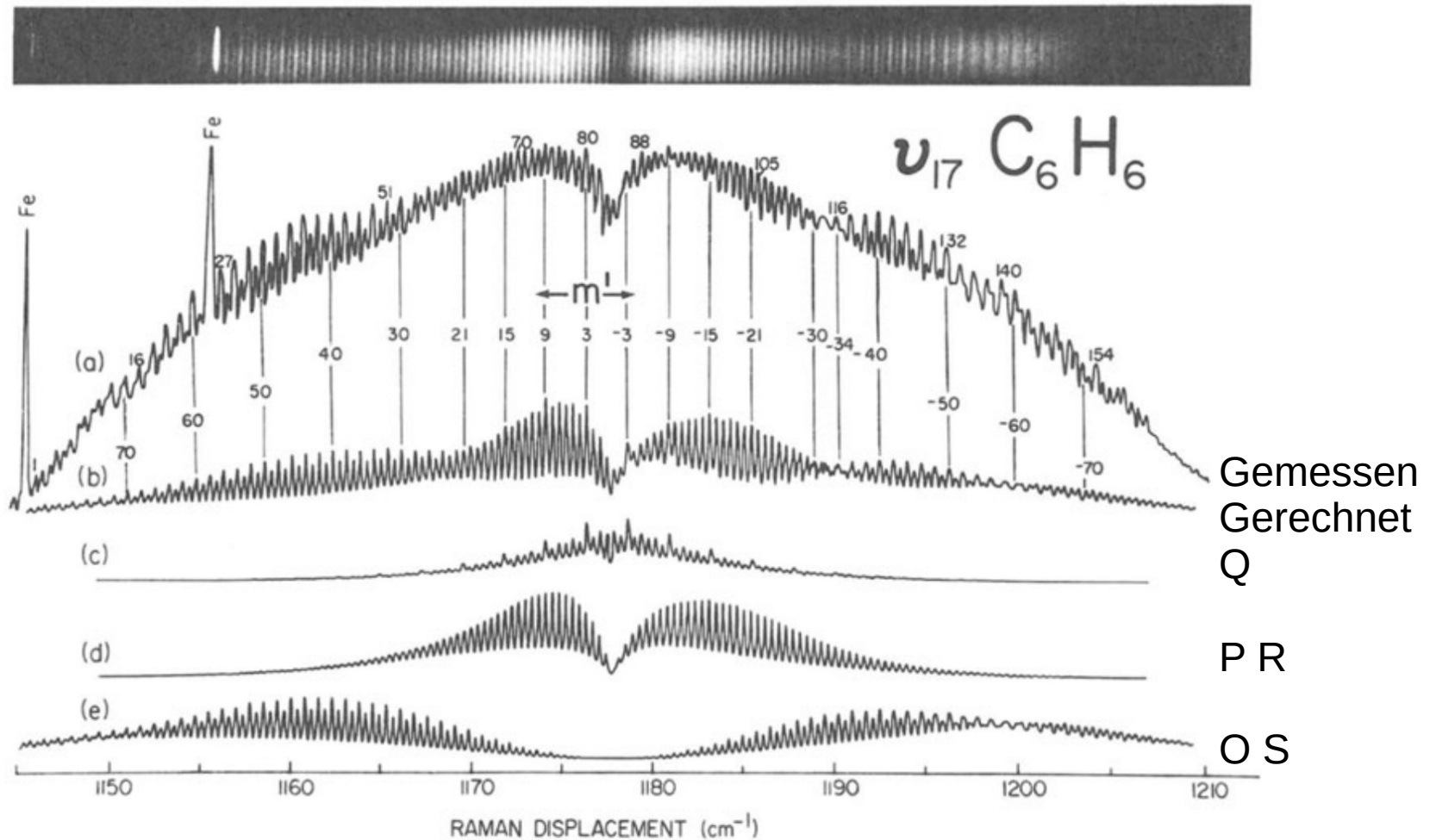
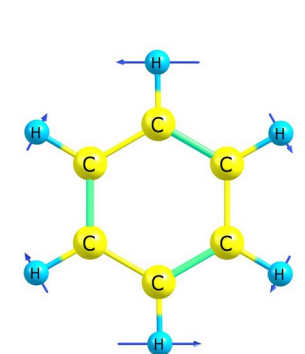
$$\bar{\nu}_{S_{sc}} = \bar{\nu}_{exc} - \bar{\nu}_v - B(4J + 6)$$

Ein Beispiel: CO

$$\nu = 2143 \text{ cm}^{-1}$$

$$B_e = 1.93128087 \text{ cm}^{-1}$$

Ein symmetrischer Kreisel: C₆H₆ ν₁₇



Spektren-Analyse

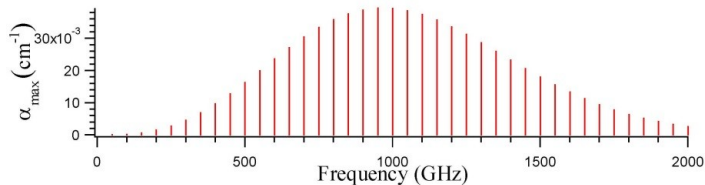
MW: Molekülgröße

Besetzung der Niveaus

Molekülgröße

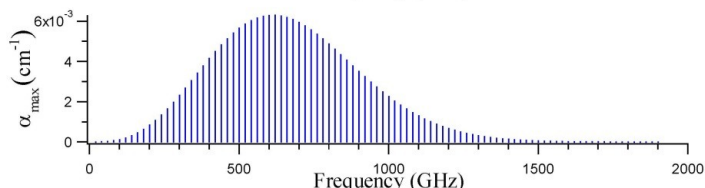
$$A = B = C = 25 \text{ GHz}$$

$$J_{\max} \approx 18$$



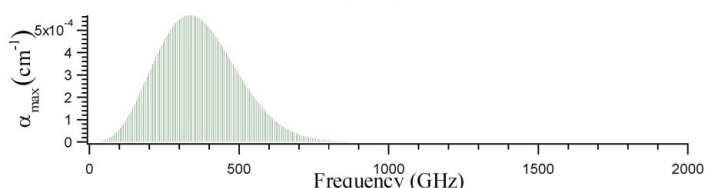
$$A = B = C = 10 \text{ GHz}$$

$$J_{\max} \approx 30$$



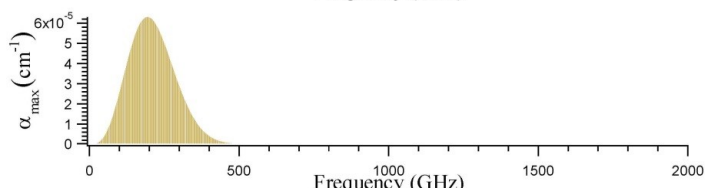
$$A = B = C = 3 \text{ GHz}$$

$$J_{\max} \approx 55$$



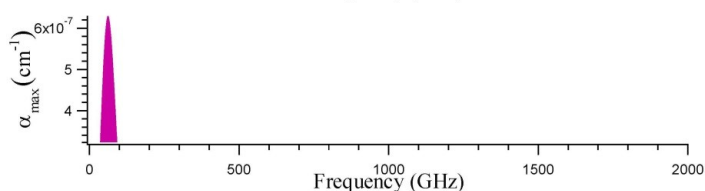
$$A = B = C = 1 \text{ GHz}$$

$$J_{\max} \approx 96$$

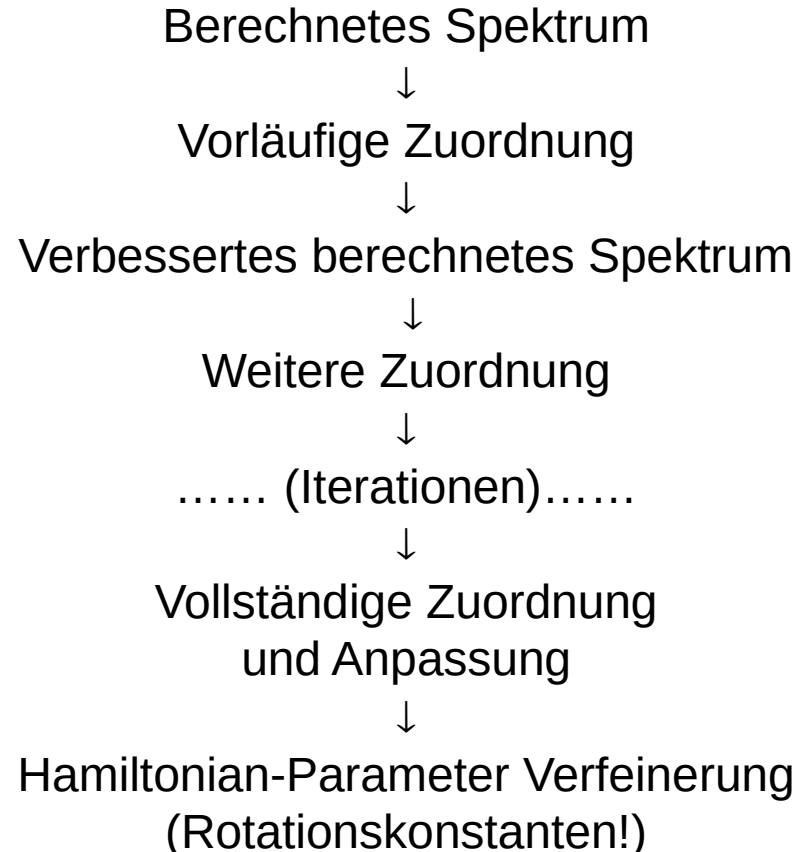


$$A = B = C = 0.1 \text{ GHz}$$

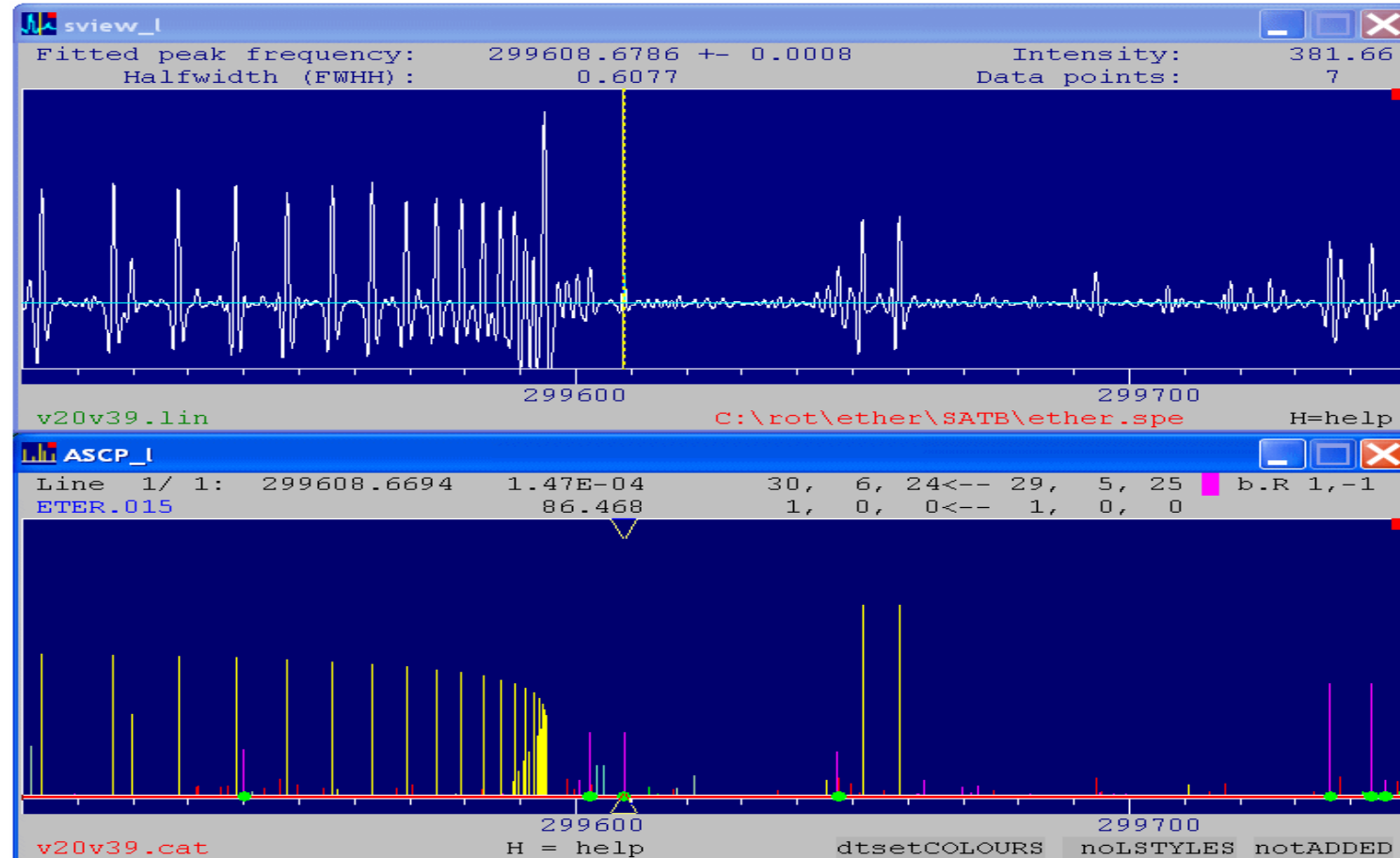
$$J_{\max} \approx 305$$



Iteratives Vorgehen



Software/Zuordnung



AABS package: Z. Kisiel, L. Pszczołkowski, I.R. Medvedev,
M. Winnewisser, F.C. De Lucia, C.E. Herbst, *J. Mol. Spectrosc.* **2005**, 231, 233

Strukturanalyse

Zweiatomige Moleküle

$$B = \frac{h}{8\pi^2 c I} \quad I = \mu r^2$$

$$B = 10.440254 \pm 0.000010 \text{ cm}^{-1}$$
$$= 1044.0254 \text{ m}^{-1}$$

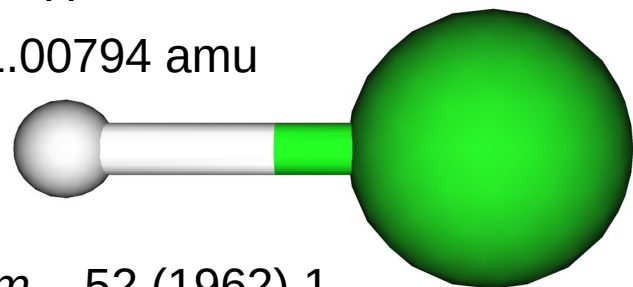
Rank et al., *J. Opt. Soc. Am.*, 52 (1962) 1.

Beispiel: HCl

¹H

³⁵Cl
 $m = 34.96885 \text{ amu}$

$m = 1.00794 \text{ amu}$



$$h = 6.62607015 \times 10^{-34} \text{ J*s}$$

$$\pi = 3.14159$$

$$c = 299792458 \text{ m/s}$$

$$\mu = (m_1 * m_2) / (m_1 + m_2) = 0.9797 \text{ (amu)} * 1.660539 \times 10^{-27} = 1.626832 \times 10^{-27} \text{ kg}$$

$$I = h / (8 * \pi^2 * c * B) = 2.681237 \times 10^{-47} \text{ kg*m}^2$$

$$r = (I/\mu)^{1/2} = (2.681237 \times 10^{-47} / 1.626832 \times 10^{-27})^{1/2} = (1.648134 \times 10^{-20})^{1/2} = 1.283 \times 10^{-10} \text{ m} = 1.283 \text{ \AA}$$

Struktur? r_0 vs. r_e

Für ${}^1\text{H}{}^{35}\text{Cl}$

$$B = 10.440254 \text{ cm}^{-1} \rightarrow r = 1.283 \text{ \AA}$$

aber die beste Rechnungen: $r_e = 1.274 \text{ \AA}$ [ae-CCSDTQ/cc-pwCV5Z]

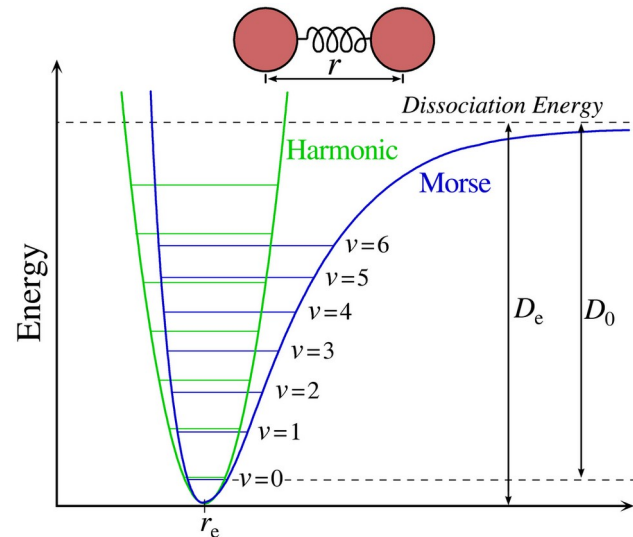
Harmonisch vs. Anharmonisch



r_e vs. r_0



B_e vs. B_0



Typen von Molekülstrukturen

- Gleichgewichts-Struktur r_e
- Effektive Struktur für $v = 0$ r_0 (r_1 für $v = 1$ usw.)
- Substitutions-Struktur r_s
- Massen-abhängige Struktur r_m
- (+ noch mehr aus Diffraktionsmethoden)

Effektive Struktur r_0

Least-Squares-Fit:

$$\chi^2 = \sum (I_i^{\text{calc}} - I_i^{\text{exp}})^2 \rightarrow \min$$

oder

$$\chi^2 = \sum (B_i^{\text{calc}} - B_i^{\text{exp}})^2 \rightarrow \min$$

$$r_0 > r_e$$



$$r(\text{S}-\text{O})$$

$$r_e = 1.4308 \text{ \AA}$$

$$r_0 = 1.4336 \text{ \AA}$$

$$\alpha(\text{O}-\text{S}-\text{O})$$

$$119^\circ 19'$$

$$119^\circ 25'$$

Morino et al.

J. Mol. Spectrosc. **1964**, *13*, 95



$$r(\text{F}-\text{C})$$

$$r_e (\text{\AA})$$

$$r_0 (\text{\AA})$$

$$1.2759(4)$$

$$1.28456$$

$$r(\text{C}-\text{P})$$

$$1.5445(2)$$

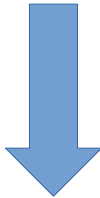
$$1.54097$$

Bizzocchi, Degli Esposti, Puzzarini

Mol. Phys. **2006**, *104*, 2627

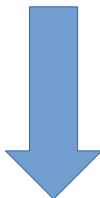
Schlecht gestelltes inverses Problem

Mehratomiges Molekül (Freiheitsgraden $N > 3$)



Rotationskonstanten A, B, C

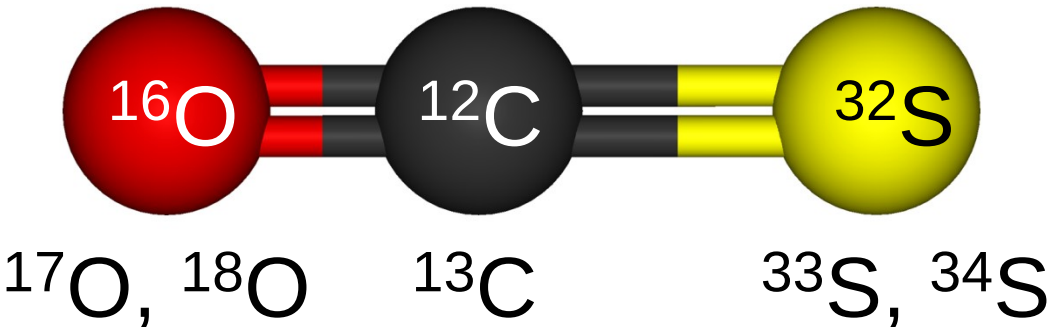
$$B = \frac{\hbar}{4\pi c I_B}$$



Mehr unbekannte Parameter als Daten!
(maximal 3 Rotationskonstanten)

Isotopensubstitution

OCS



entweder in natürlicher Häufigkeit
oder isotopenangereichert

Jedes Isotopomer und jeder Isotopologe gibt ein eigenes Spektrum

Hier (lin. M.): eine Rotationskonstante je Isotopologe;
d.h. mindestens zwei nötig,

um 2 Bindungslängen unabhängig zu bestimmen,
aber mehr ist besser für Statistik!

N.B.: Isotopomer \neq Isotopologe

Substitutions-Struktur r_s

macht Gebrauch von mehr Daten aus unterschiedlichen Isotopomeren und Isotopologen, um Koordinaten von mehr Atomen verfeinern zu können. Insbesondere sensitiv für die Position des substituierten Atoms.

$$I'_{xx} = I_x + \mu(y^2 + z^2)$$
$$I'_{yy} = I_y + \mu(x^2 + z^2)$$
$$I'_{zz} = I_z + \mu(x^2 + y^2)$$
$$I'_{xy} = -\mu xy$$
$$I'_{xz} = -\mu xz$$
$$I'_{yz} = -\mu yz$$
$$\mu = \frac{M\Delta m}{M + \Delta m}$$

Kraitchman-Gleichungen

C. C. Costain, *J. Chem. Phys.* **1958**, 29, 864

$$z = \frac{\Delta I \cdot M^*}{\Delta m \cdot M}$$

z Koordinate

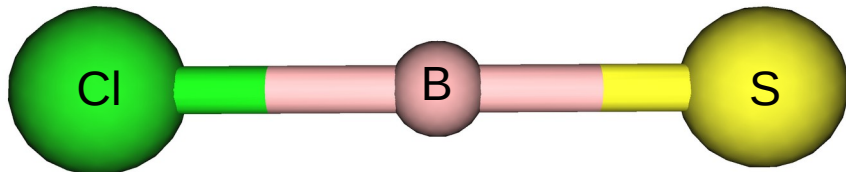
Δm Massenänderung bei Substitution

M Masse des urspr. Moleküls

M^* Masse des subst. Moleküls

Substitutions-Struktur r_s

- 1) Genauigkeit: $r_e > r_s > r_0$
Näherung: Nullpunkt-Schwingungs-Effekte mitteln sich bei der Benutzung
der Kraitchman-Gleichungen aus
- 2) Alle nicht-äquivalente Atome müssen substituiert werden



(Å)	Cl–B	B=S
r_0	1.6819(22)	1.6063(22)
r_s	1.6815(10)	1.6040(10)
r_e	1.680567(89)	1.604923(90)

Massen-abhängige-Struktur r_m

Erweiterung der Substitutions-Methode:

die Massenabhängigkeit der Schwingungsbeiträge wird bis zur ersten Ordnung mit einbezogen

... erste Ordnung

$$I_b^m = I_b^e + \frac{1}{M} \sum_i \left(\frac{\partial^2 (M\varepsilon)}{\partial m_i^2} \right) \Delta m_i + \dots$$

I_b^m massenabhängiges Trägheitsmoment

für lineare Moleküle

$$\varepsilon = \frac{I_b^e}{2B_e} \sum_s \alpha_s^b d_s$$

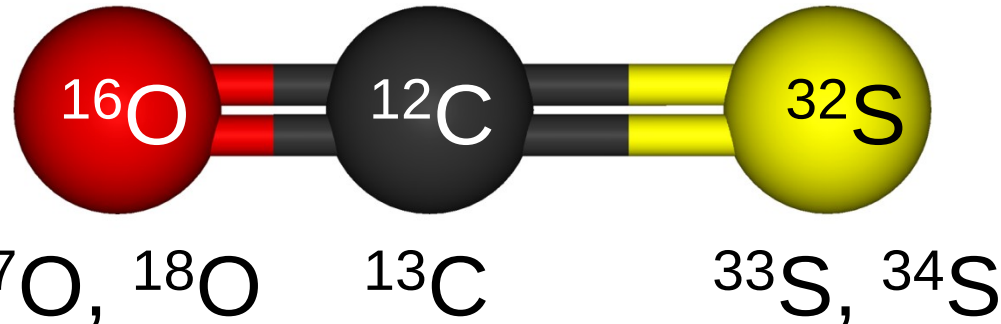
Probleme:

leichte Atome, fehlende Subst.-Möglichkeit (z. B. bei F)

a, d :
Konstanten
die Schwingung
korrigieren

Massen-abhängige-Struktur r_m

Struktur von OCS

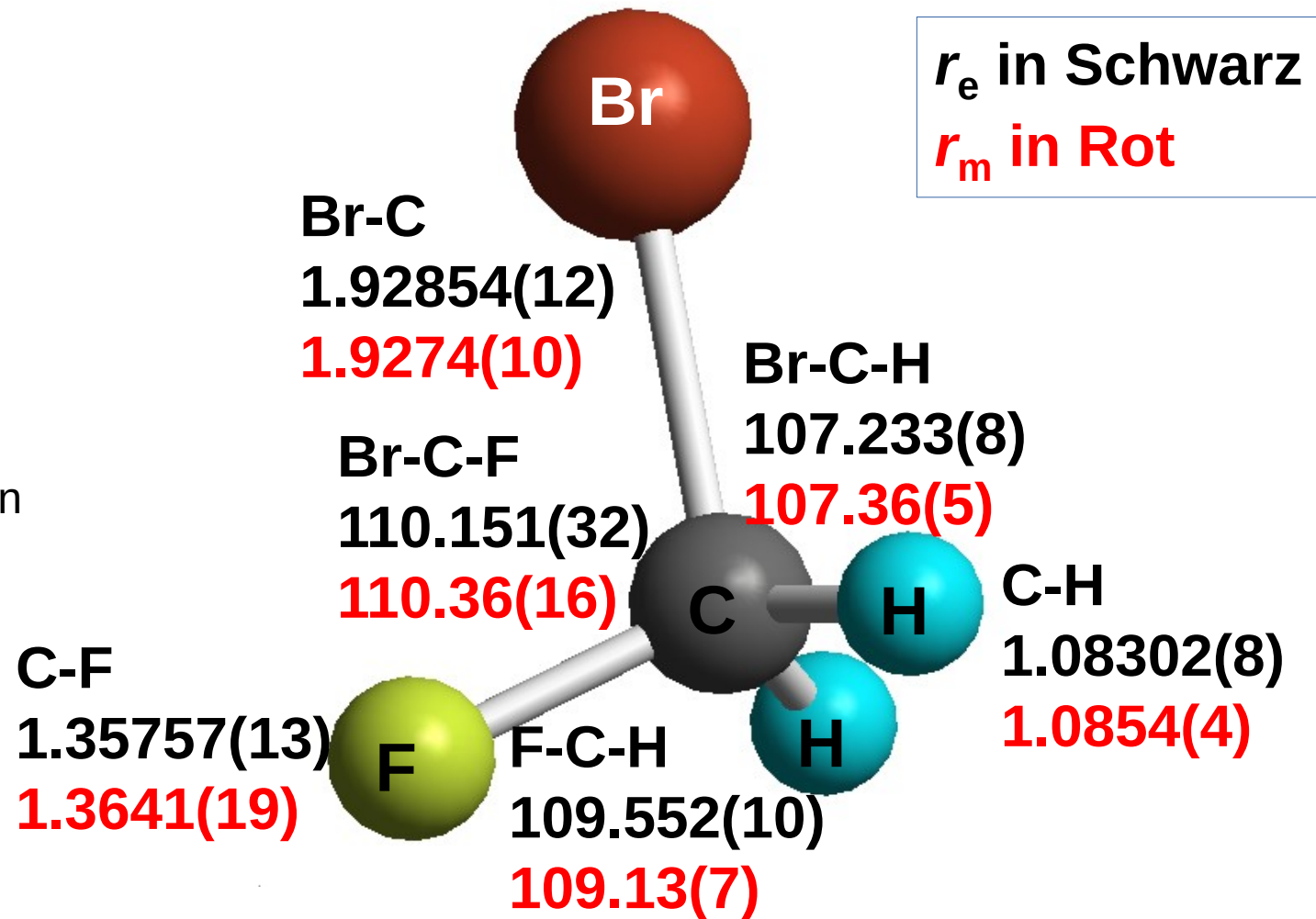


OCS	$r(\text{C}-\text{O})$	$r(\text{C}-\text{S})$	
r_0	1.15638(113)	1.56488(92)	Watson et al. <i>J. Mol. Spectrosc.</i> 1999 , 196, 102
r_s	1.15842(76)	1.56150(93)	
r_m	1.15764(66)	1.56045(116)	Foord et al. <i>Mol. Phys.</i> 1975 , 29, 1685
r_e	1.155386(21)	1.562021(17)	

Massen-abhängige-Struktur r_m

Puzzarini et al.
J. Chem. Phys.
2007, 127, 164302

Beispiel für das Versagen



Gleichgewichts-Struktur r_e

Vorgehen (alt):

- 1) Experimentell: r_0, r_s, r_m, \dots
- 2) QM-Rechnungen: r_e (daraus Korrekturen für 1)
- 3) Gemischt experimentell/berechnet: r_e (empirisch)

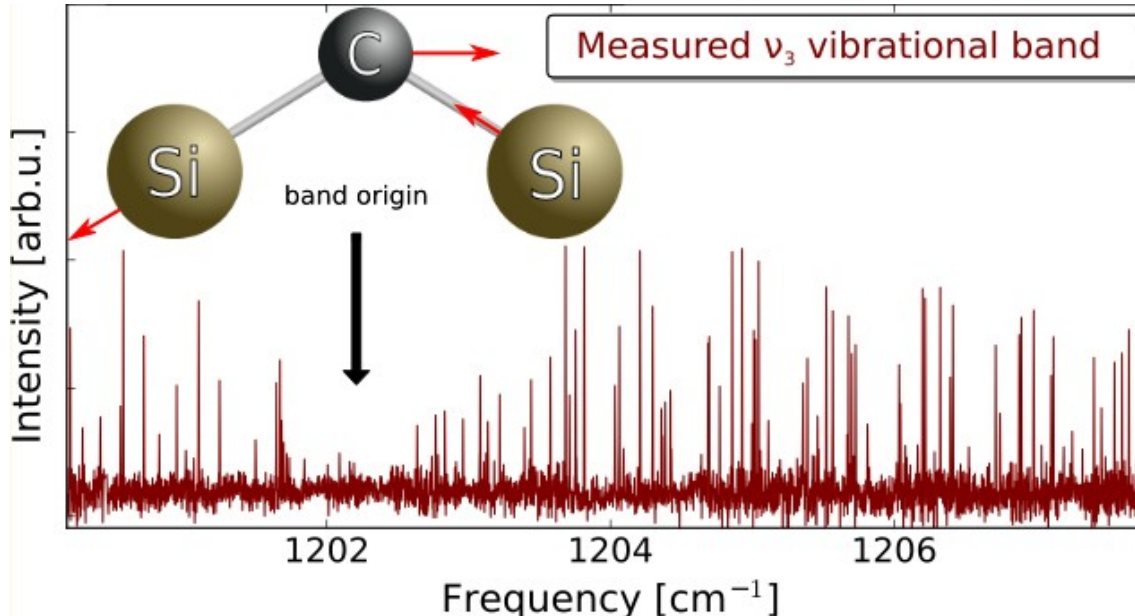
Vorgehen (neu):

$$B_e = B_0 + \frac{1}{2} \sum_r \alpha_r^B$$

- 1) Spektren messen, B_0 verfeinern.
- 2) QM-Rechnungen: Rotations-vibrations-konstanten α rechnen.
- 3) Experimentelle B_0 in semi-experimentelle $B_e^{(se)}$ umrechnen.
- 4) Aus $B_e^{(se)}$ semi-experimentelle $r_e^{(se)}$ verfeinern.

Beispiel: siehe CH₂BrF

Molekül(e) des Tages



Infrared Spectroscopy of Disilicon-Carbide, Si₂C: The ν_3 Fundamental Band

Daniel Witsch,^{*,†} Volker Lutter,[†] Alexander A. Breier,[†] Koichi M. T. Yamada,[‡] Guido W. Fuchs,[†] Jürgen Gauss,[§] and Thomas F. Giesen^{*,†}

Kohlenstoffstern IRC +10216 (CW Leonis): UV

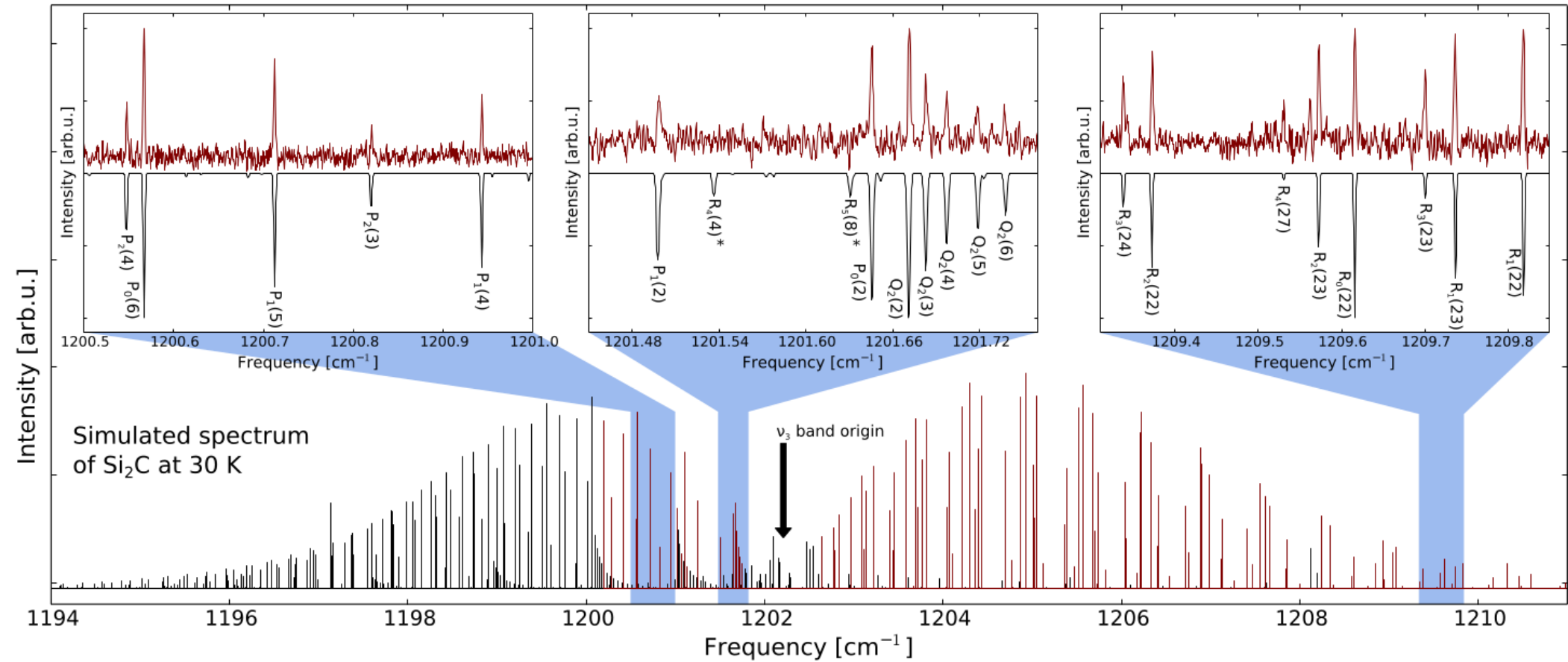


310 L_J

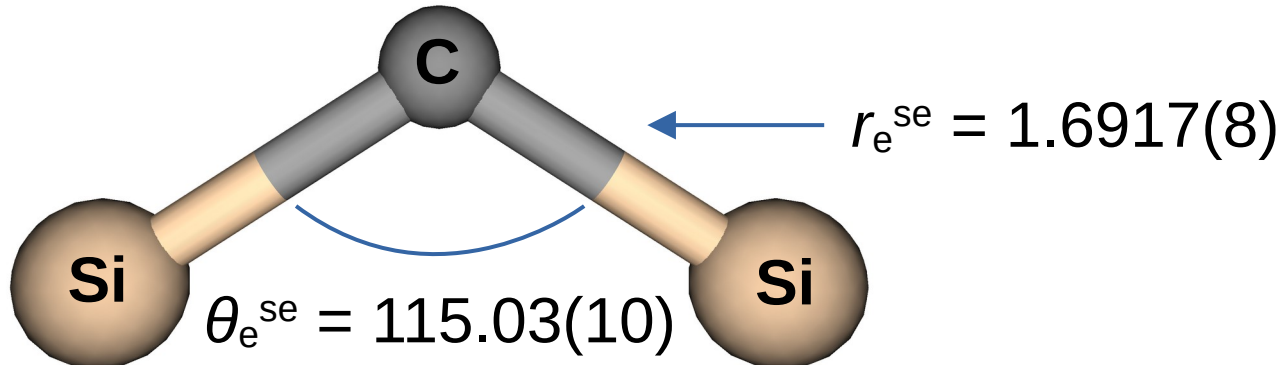
IRC +10216 (CW Leonis) in IR



Si_2C : ν_3



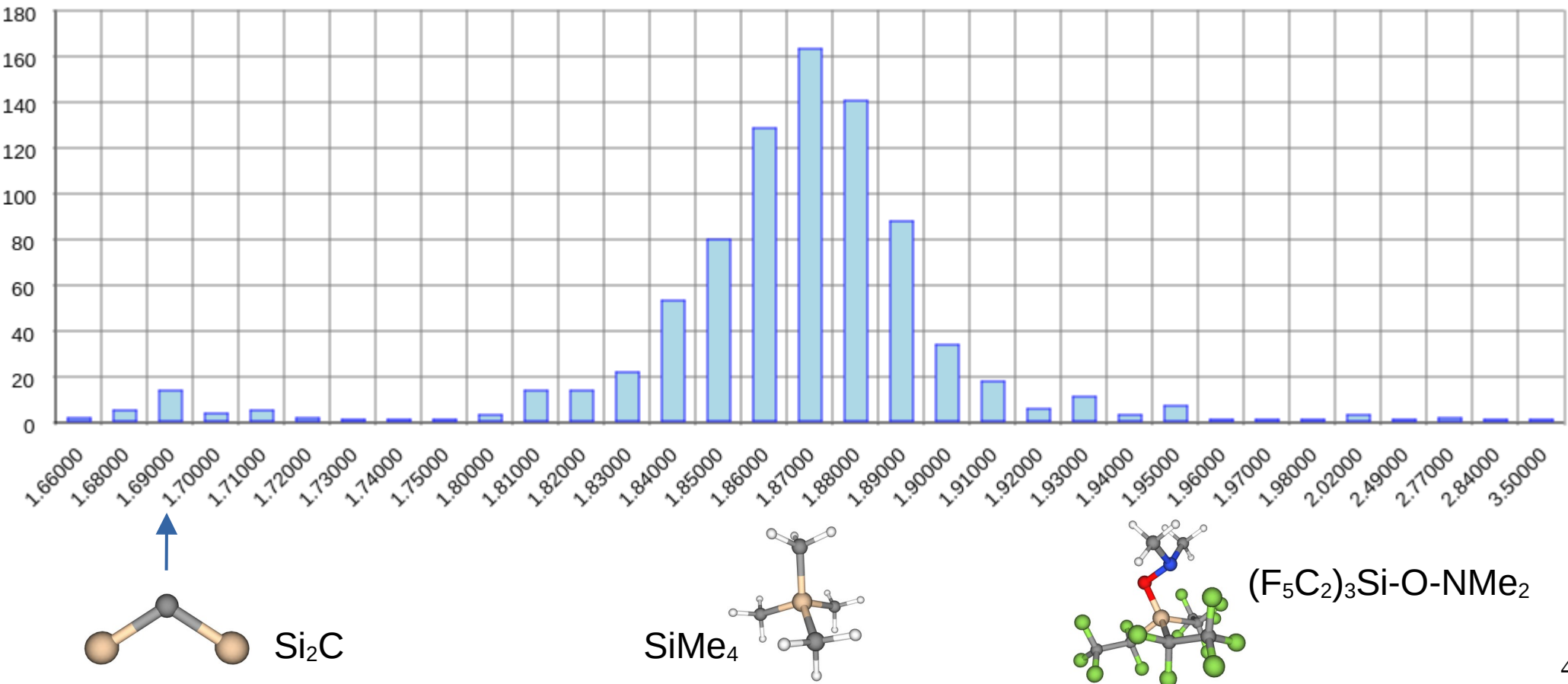
Si₂C: Struktur



	semiexperimental	theory	other work ^a
A_e [MHz]	62119.6(11)	61 361.1	61 627.30
B_e [MHz]	4435.743(11)	4447.3	4438.01
C_e [MHz]	4137.9225(89)	4146.7	4139.70
θ [deg]	115.03(10)	114.709	114.871(3)
r_e [\AA]	1.6917(8)	1.69248	1.69272(2)
Δ_e [$\mu\text{Å}^2$]	0.06460(42)	0.0037	0.0053
ζ_{13}	0.676892(12)	0.655	
ζ_{23}	-0.736082(11)	-0.756	

$r(\text{Si-C})$

MOGADOC (2021):



Quellen/Literatur

- D. W. H. Rankin, N. W. Mitzel, C. A. Morrison, *Structural Methods in Molecular Inorganic Chemistry*, John Wiley & Sons, Chichester, 2013.
- A. Weber, Ed., *Raman Spectroscopy of Gases and Liquids*, Springer, Berlin, 1979.
- D. Papoušek, M. R. Aliev, *Molecular Vibrational-Rotational Spectra: Theory and Applications of High Resolution Infrared, Microwave, and Raman Spectroscopy of Polyatomic Molecules*, Elsevier, Amsterdam - Oxford - New York, 1982.